

# Magnetisme

- Magnetostatikk (ingen tidsvariasjon):  $\partial\mathbf{B}/\partial t = 0$
- Kap 27. Magnetiske krefter
- Kap 28: Magnetiske kilder
- Elektrodynamikk (tidsvariasjon):  $\partial\mathbf{B}/\partial t \neq 0$
- Kap 29: Elektromagnetisk induksjon
- Kap 30: Induktans
- Kap 31: Vekselstrømskretser
- Kap 32: Elektromagnetiske bølger

## FARADAY'S PARADOX

This is a coil of wire with a hunk of iron locked in it.

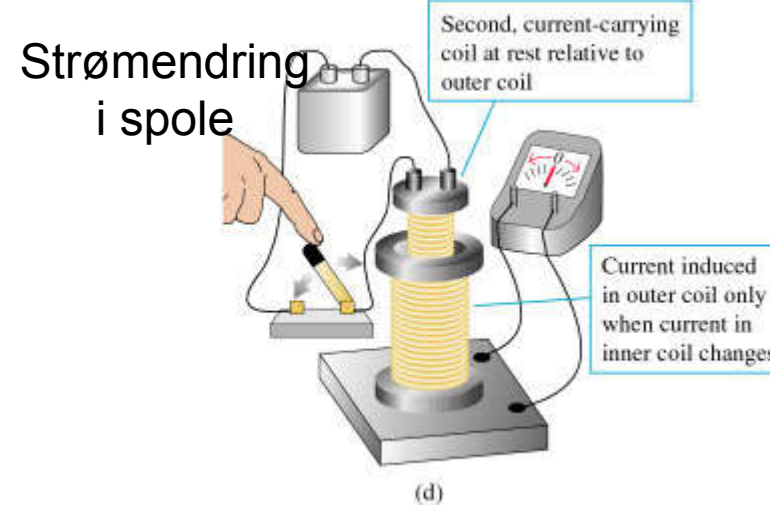
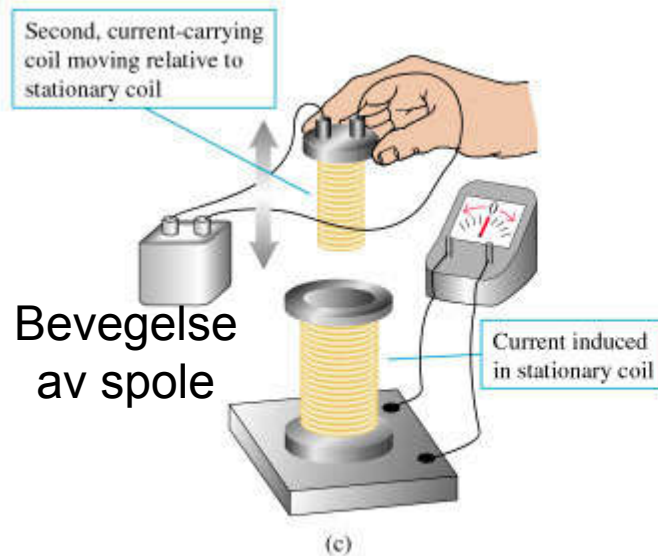
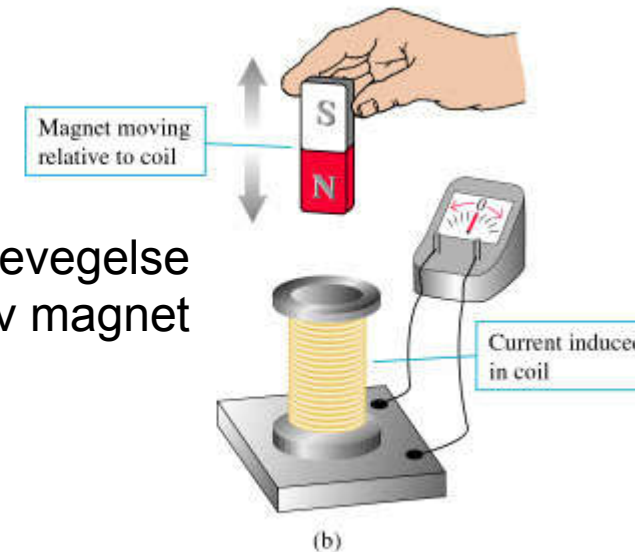
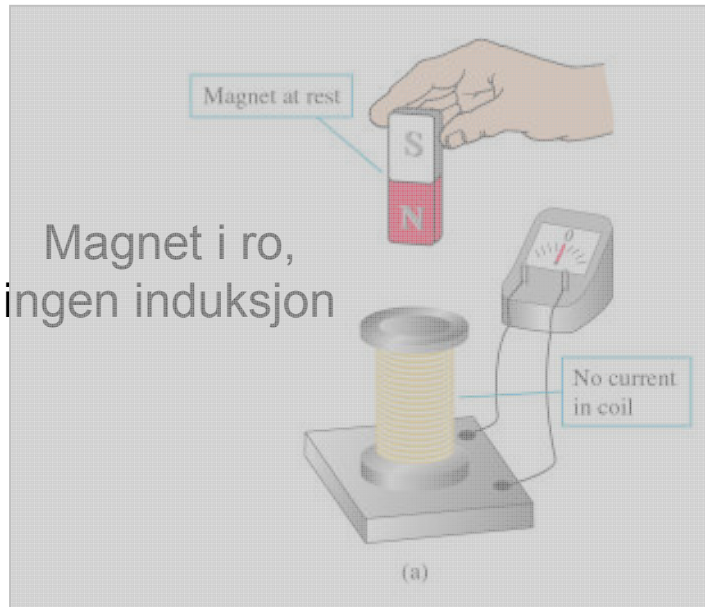


- a) If current is made to flow in the wire, the iron becomes a magnet
- b) If the iron is a magnet, current is made to flow in the wire
- c) Both of the first two statements are true
- d) Both of the first two statements are false

Michael **Faraday** (eng. 1791-1867) og  
Joseph **Henry** (amer. 1797-1878):

1832: Strøm produseres ved **induksjon**:

# Flere muligheter for induksjon:



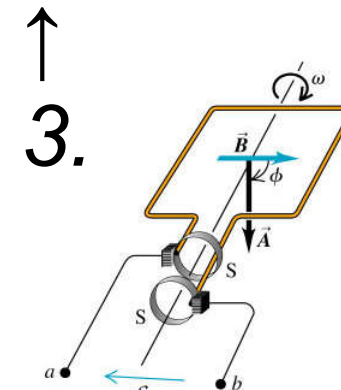
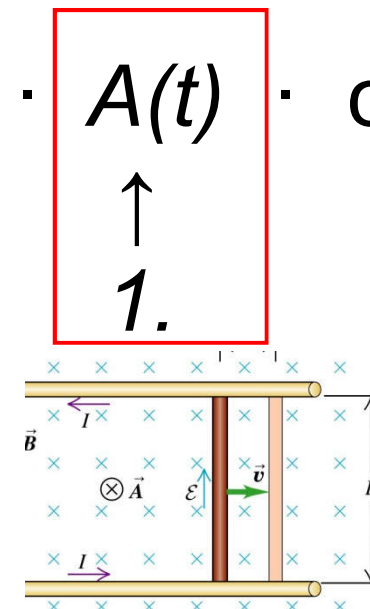
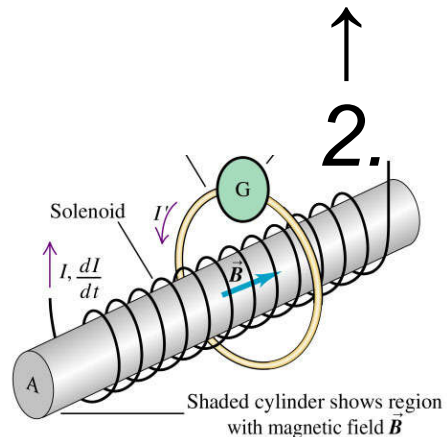
# Faradays lov:

Indusert ems:  $\mathcal{E} = - \frac{d\Phi_B}{dt}$ , der  $\Phi_B = \iint \mathbf{B} \cdot d\mathbf{A}$

eller indusert  $E$ -felt:  $\int \mathbf{E} \cdot d\mathbf{s} = - \frac{d\Phi_B}{dt}$

Homogen  $B$  og plan strømsløyfe:

$$\Phi_B = B A \cos\varphi = B(t) \cdot A(t) \cdot \cos\varphi(t)$$

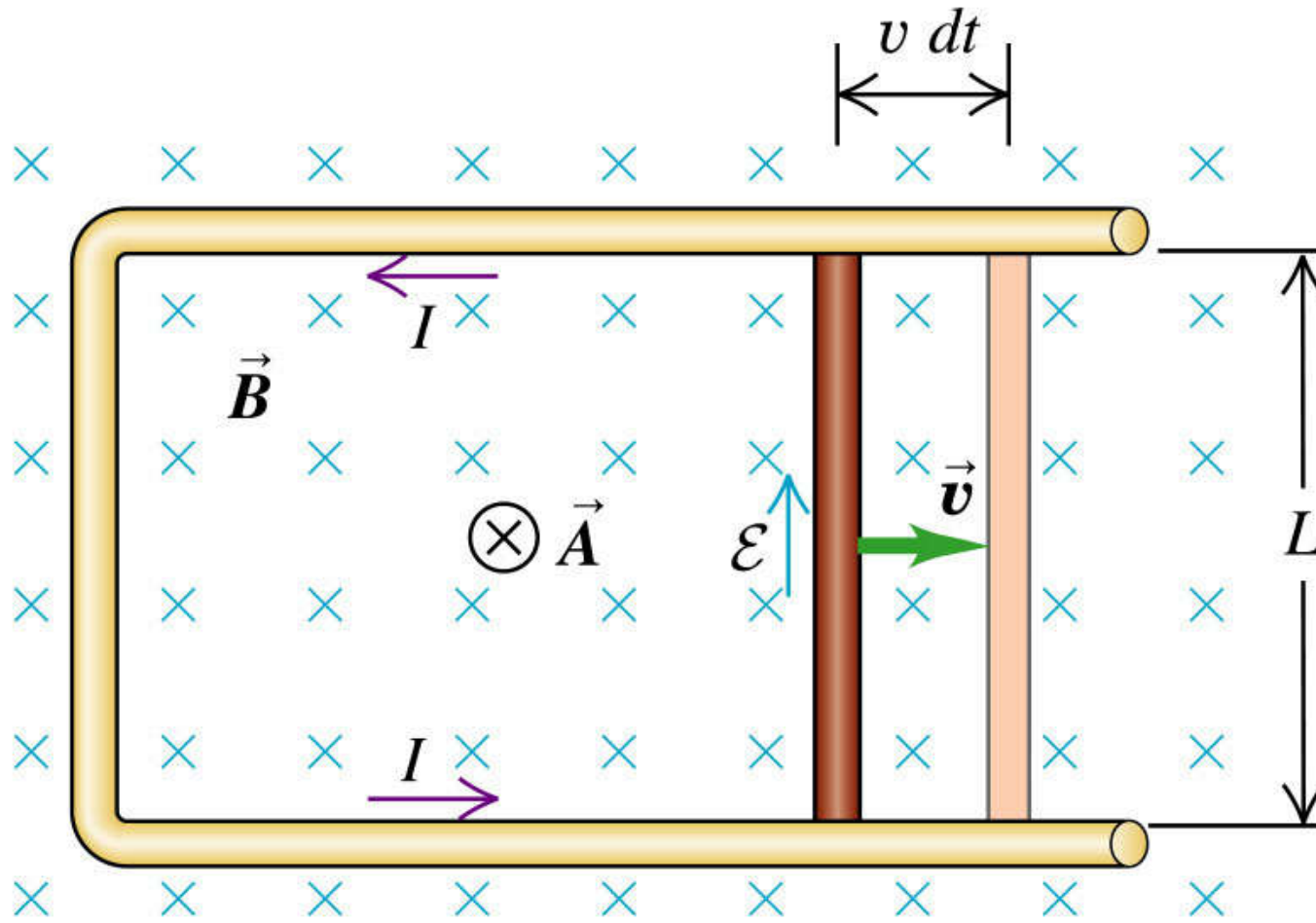


4

# Bevis av Faradays lov:

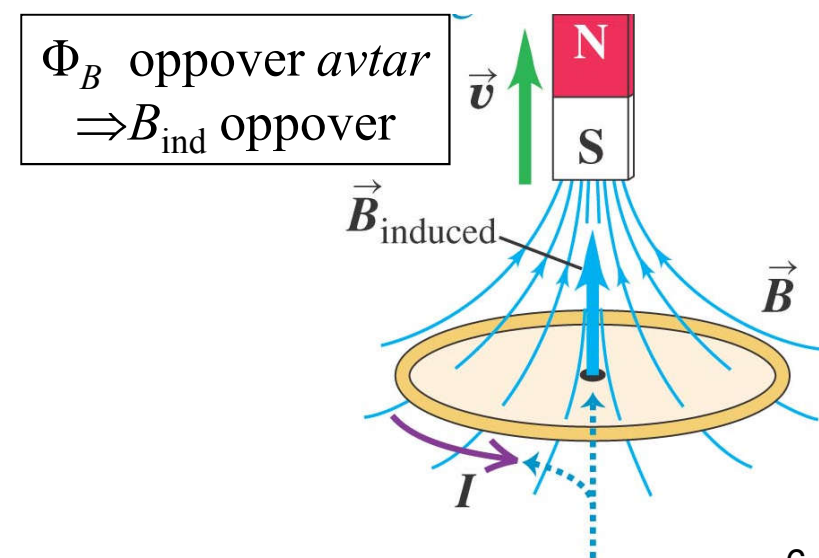
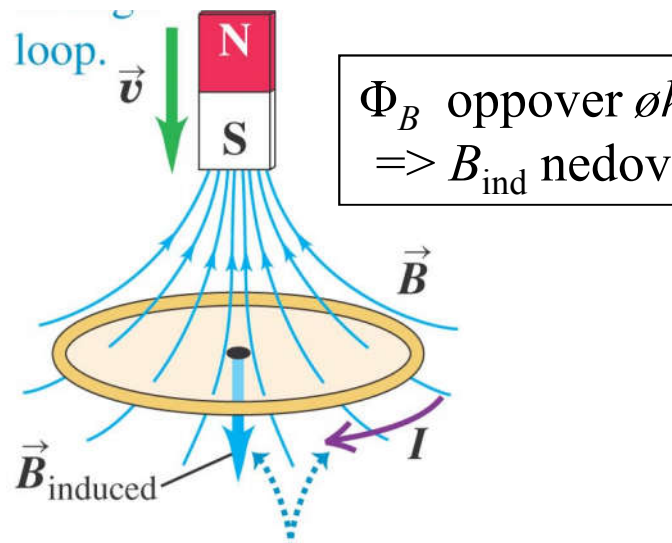
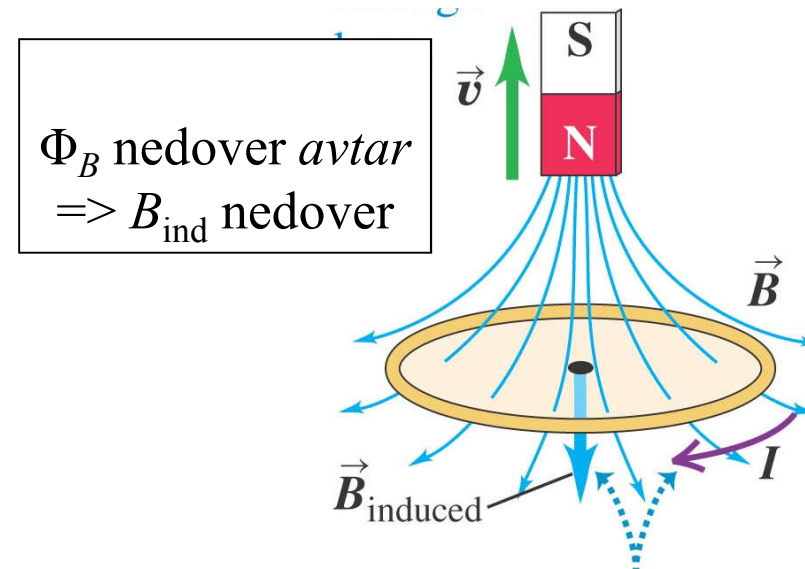
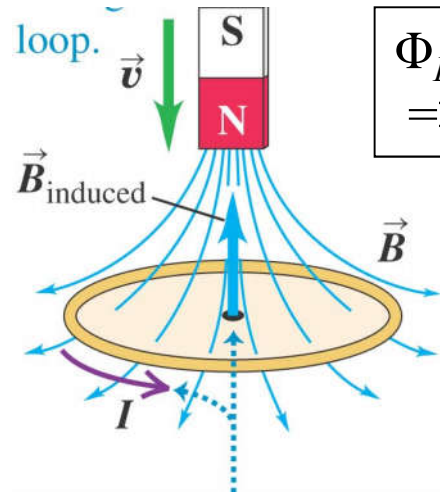
1. Endring  $A(t)$ :

$$\mathcal{E} = - \frac{d\Phi_B}{dt} = - B \cdot \frac{dA(t)}{dt} \cdot \cos 0^\circ$$



(Fig 29.11)  
5

# Induksjon: Lenz' lov



# **Le Chateliers prinsipp:**

Et system i likevekt som påtvinges en endring: Systemet reagerer med å motvirke endringen.

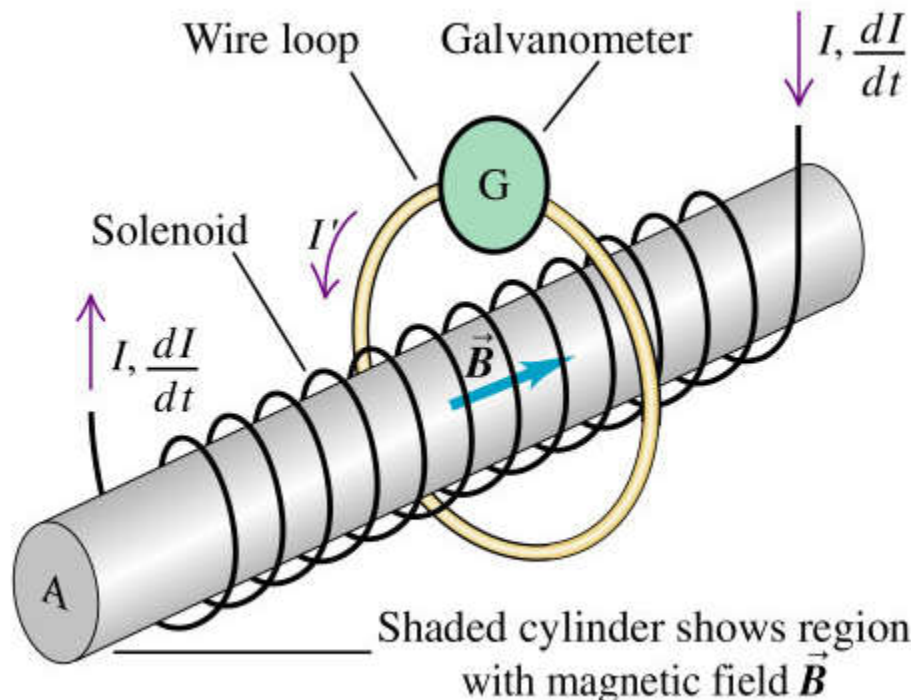
(naturen er konservativ)

# Faradays lov:

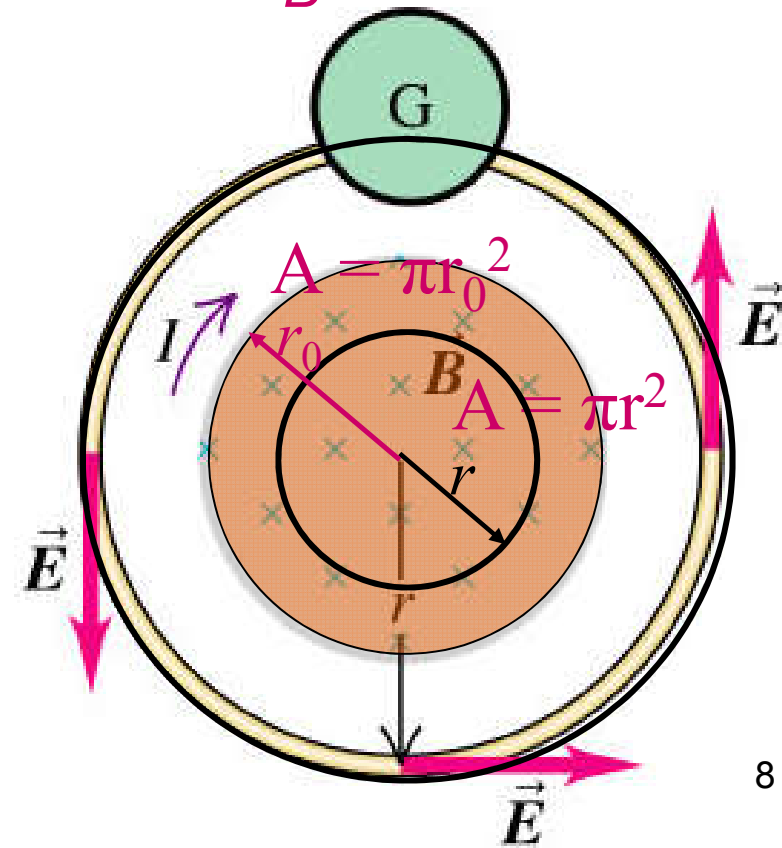
## 2. Endring $B(t)$ :

Indusert e.m.s:  $\mathcal{E} = - \frac{d\Phi_B}{dt} = - \frac{dB(t)}{dt} \cdot A \cdot \cos 0^\circ$

bedre: indusert  $E$ -felt:  $\int \vec{E} \cdot d\vec{s} = - \frac{d\Phi_B}{dt}$



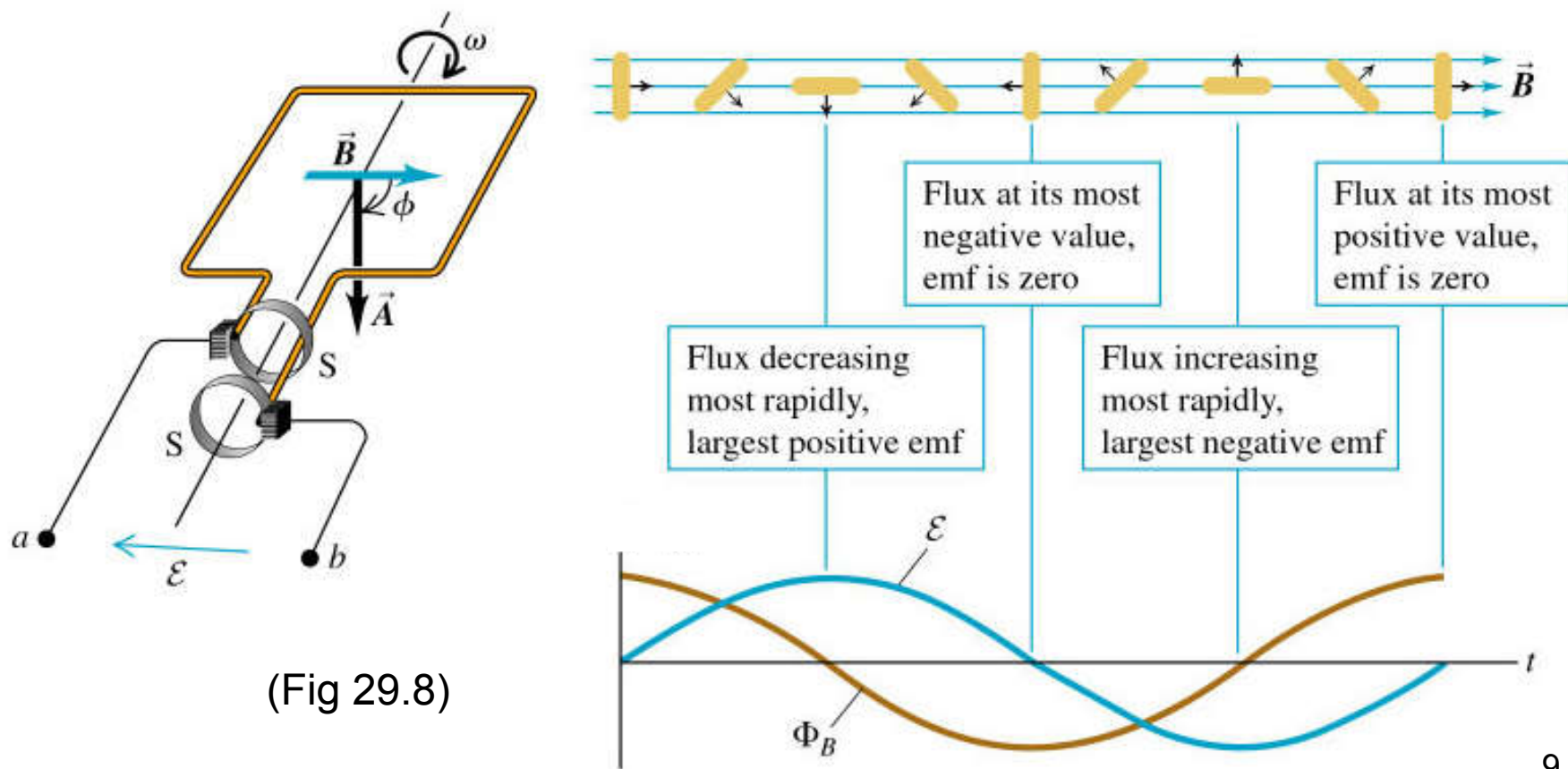
(Fig 29.18)



# Faradays lov:

## 3. Endring $\varphi(t)$ :

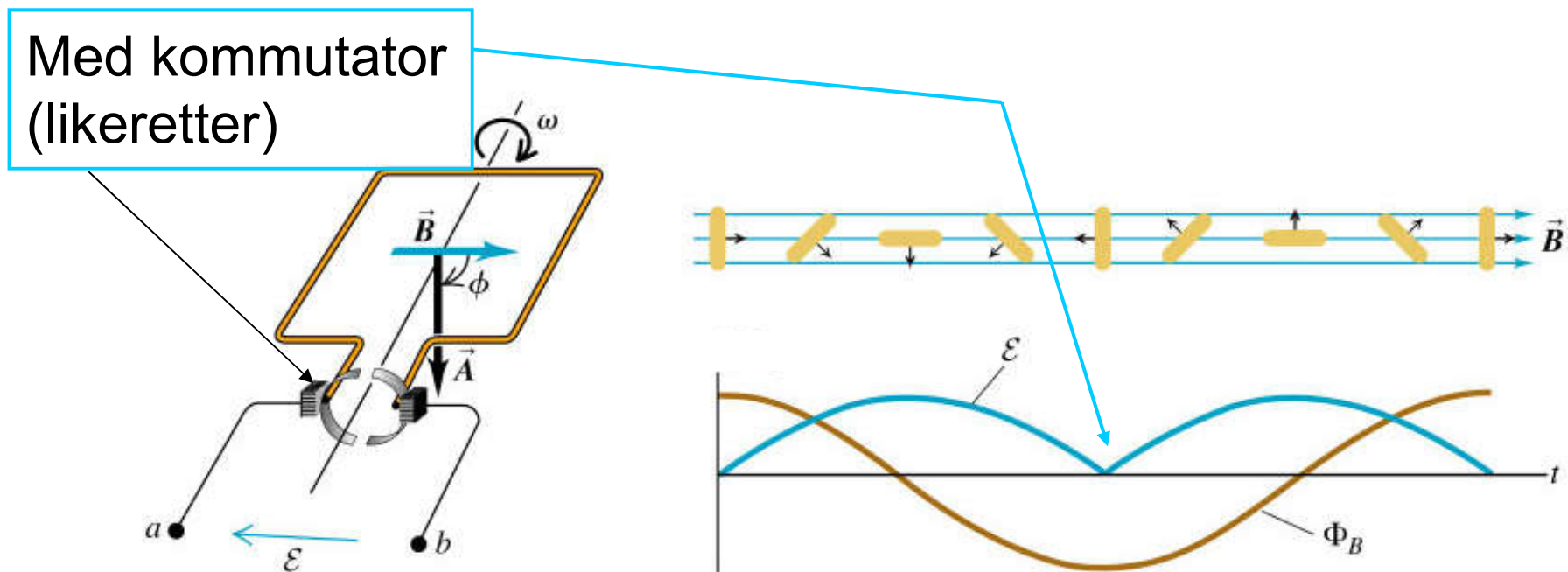
$$\mathcal{E} = - \frac{d\Phi_B}{dt} = - \vec{B} \cdot \vec{A} \cdot \frac{d(\cos \varphi)}{dt}$$



# Faradays lov:

## 3. Endring $\varphi(t)$ :

$$\mathcal{E} = - \frac{d\Phi_B}{dt} = - B \cdot A \cdot \frac{d(\cos \varphi)}{dt}$$



(Fig 29.10)

# Kap. 29: Oppsummering: Elektromagnetisk induksjon

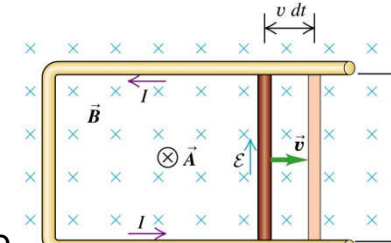
- Faradays lov for homogent  $\mathbf{B}$ -felt og plan strømsløyfe:

$$\mathcal{E} = - \frac{d\Phi_B}{dt} = - \frac{d}{dt} \{ B(t) \cdot A(t) \cdot \cos\varphi(t) \}$$

- Tre ulike tilfeller:

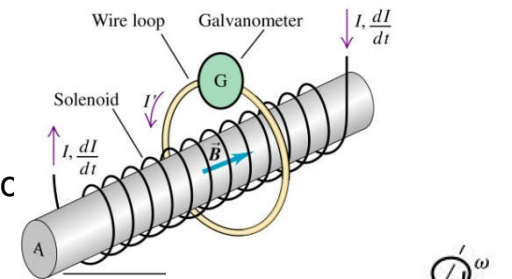
1) Bevegelsesindusert, endring i  $A(t)$ :

$$\mathcal{E} = - \frac{d\Phi_B}{dt} = - B \cdot dA(t)/dt \cdot \cos 0^\circ$$



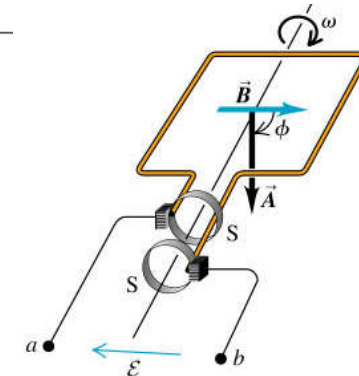
2) Tidsvariasjon i  $B(t)$ :

$$\mathcal{E} = - \frac{d\Phi_B}{dt} = - dB(t)/dt \cdot A \cdot \cos 0^\circ$$



3) Rotasjon, endring i  $\varphi(t)$ :

$$\mathcal{E} = - \frac{d\Phi_B}{dt} = - B \cdot A \cdot d(\cos \varphi) / dt$$



# Kap. 29: Oppsummering: Elektromagnetisk induksjon

- Faradays lov:

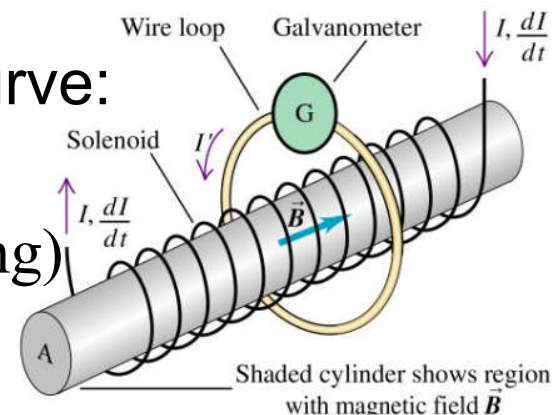
$$\mathcal{E} = - \frac{d\Phi_B}{dt}, \quad \text{der } \Phi_B = \int \mathbf{B} \cdot d\mathbf{A}.$$

Dvs: endring i magnetisk fluks  $\Phi_B$  induserer ems.

Generelt, induksjon av **E**-felt i lukket kurve:

$$\int \mathbf{E} \cdot d\mathbf{s} = \mathcal{E} = - \frac{d\Phi_B}{dt}$$

**E**-felt induseres også i tomrom (uten ledning)



- Lenz' lov: Indusert strøm motsetter seg fluksendringen.

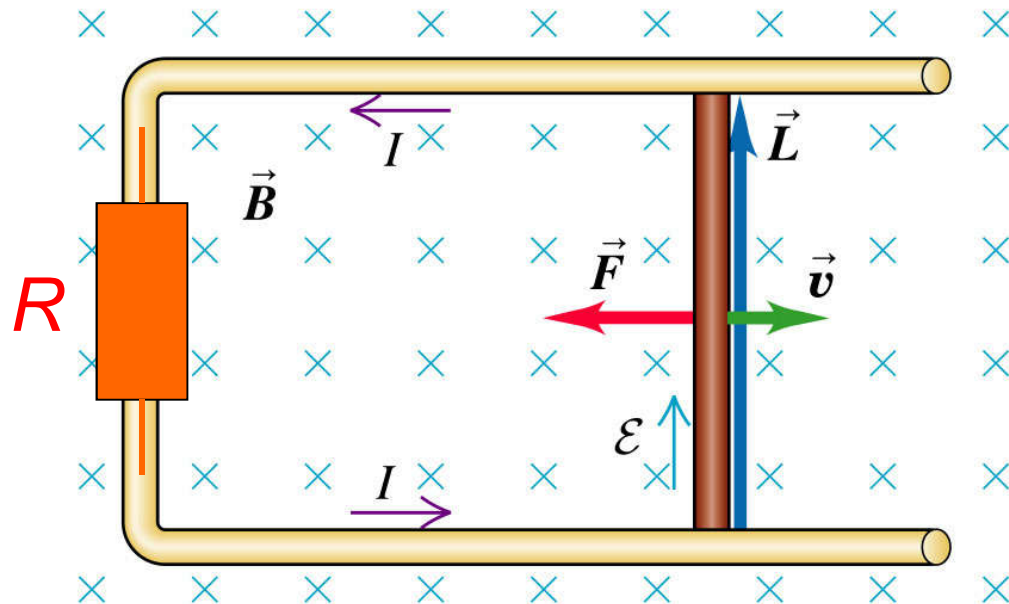
# Faradays lov:

1. Endring  $A(t)$ :

$$\mathcal{E} = - \frac{d\Phi_B}{dt} = - B \cdot dA(t)/dt \cdot \cos 0^\circ$$

Arbeid å flytte tverrstaven

Mekanisk arbeid = elektrisk dissipert energi i  $R$



$$I = \mathcal{E} / R = B l v / R$$

$$F = I l B = B^2 l^2 v / R$$

Effekt:

$$P = Fv = B^2 l^2 v^2 / R$$

Copyright © 2004 Pearson Education, Inc., publishing as Addison Wesley.

(Fig 29.12)  
13

# Kap 29: Elektromagnetisk induksjon

- Faradays lov og Lenz' lov (29.1-5)  $B(t) \rightarrow E(t)$
- Virvelstrømmer (29.6)
- Forskyvningsstrøm (29.7)  $E(t) \rightarrow B(t)$
- Superledende materiale
- Maxwell's likninger (enda en gang)
  - en generell oppsummering med «elmagsirkelen».

# Virvelstrømmer (Y&F 29.6, ikke pensum)

## Anvendelser:

- Metalldetektor:

- Minesøking
- Sikkerhetskontroll flyplasser
- Søke etter vannrør
- Deteksjon foran lyskryss
- Søppelsortering (glass/metall)

- Bremser i tog/trikk/buss/sirkelsaç

(virvelstrøm gir varme,  
evt. induksjonsbrems gir el.energi)

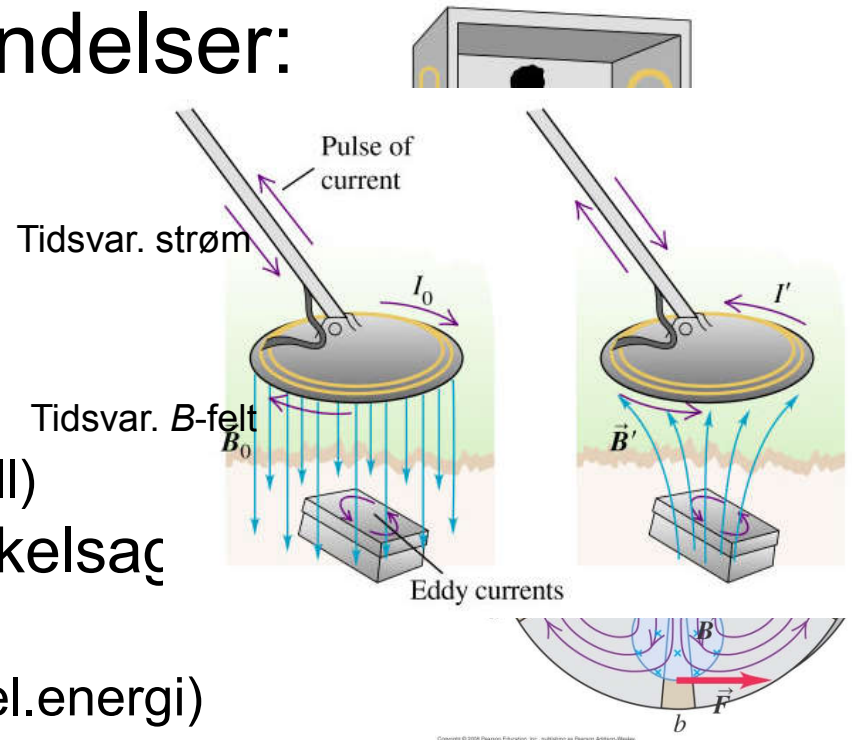
- Wattmålere (husholdning)

- Fartsmålere bil (tidl., nå: digitalt og GPS).

- Induksjonskomfyre

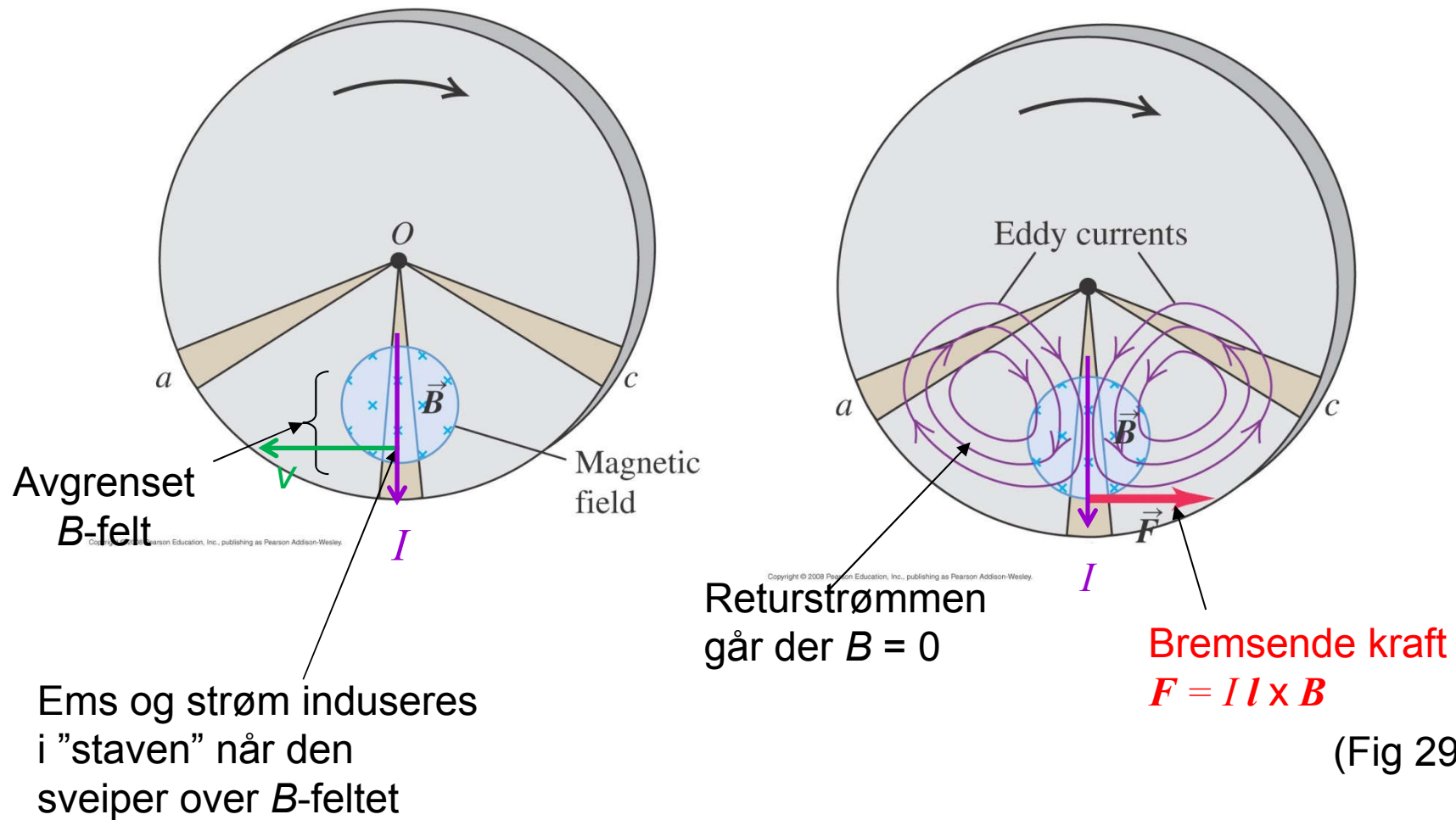
(høyfrekvent strøm og ferromagn.materiale =>  
stor  $B$ , samt liten inntrengningsdybde og stor resistans)

- Induksjonssveising.



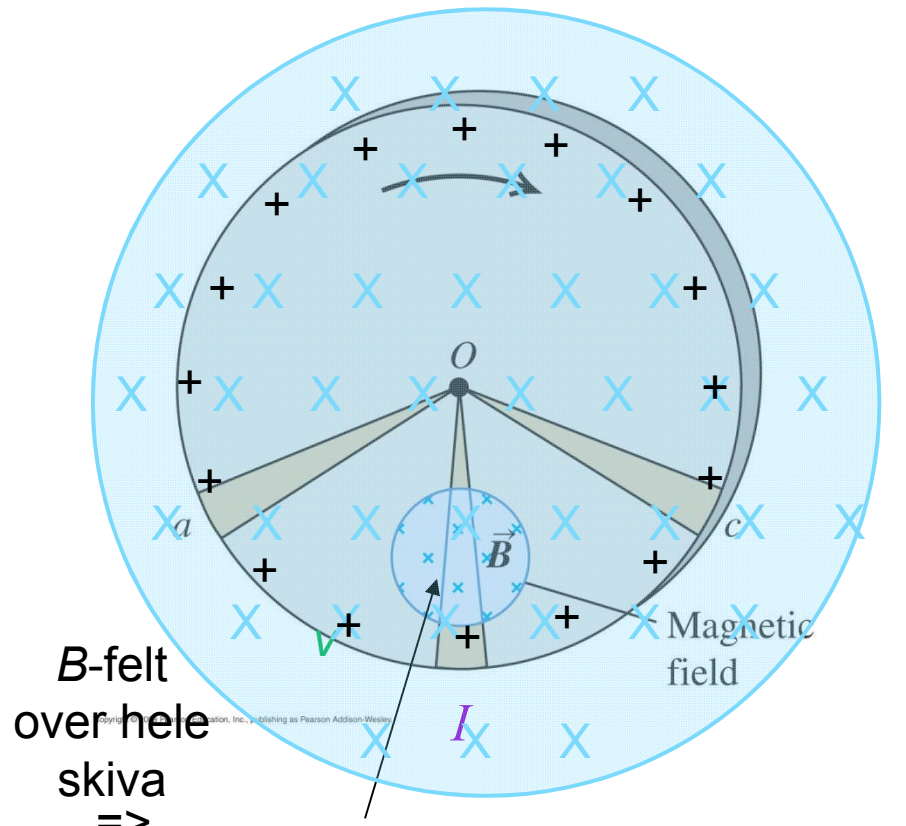
# Virvelstrømmer

Eks: *B-felt over en del av arealet i roterende metallskive.*



(Fig 29.19)  
16

# Eks: $B$ -felt over hele arealet i roterende metallskive.



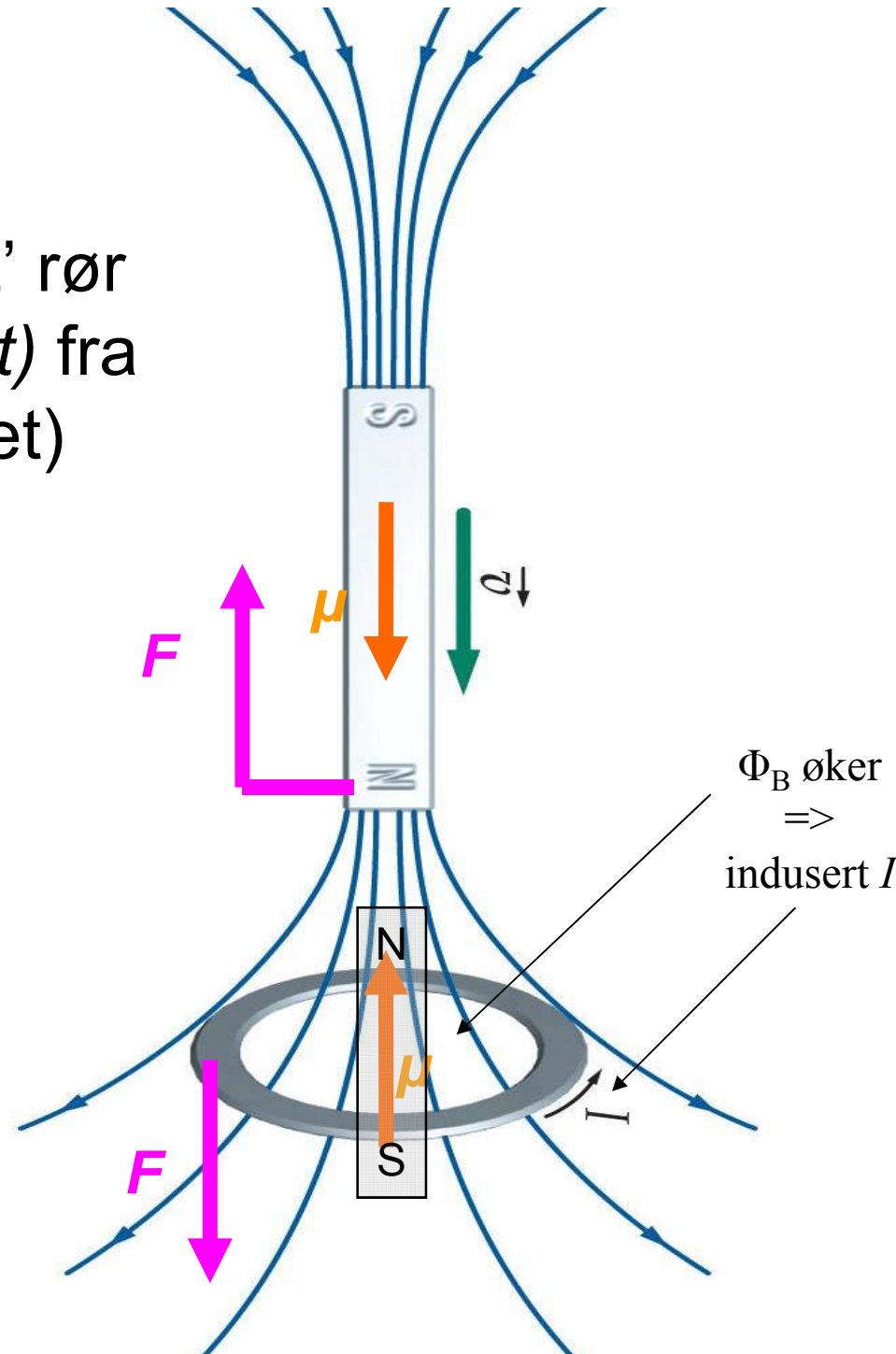
Ingen bremsende kraft.

# ”Eddy current pendulum”

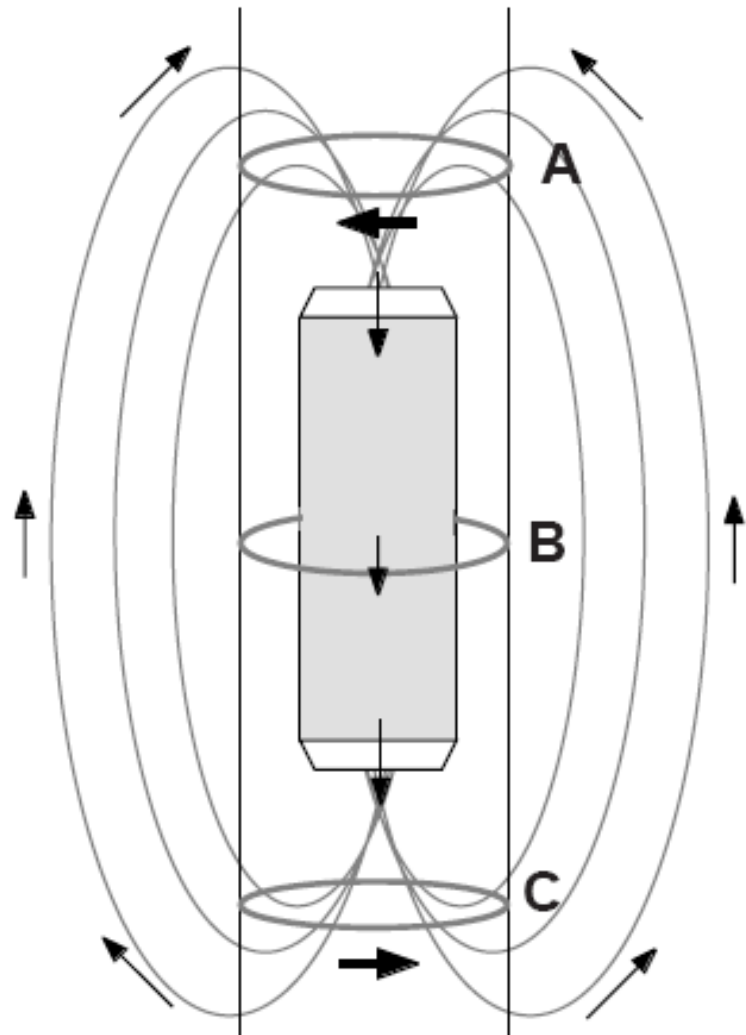
Video på nettside <http://demoroom.physics.ncsu.edu/html/demos/163.html>



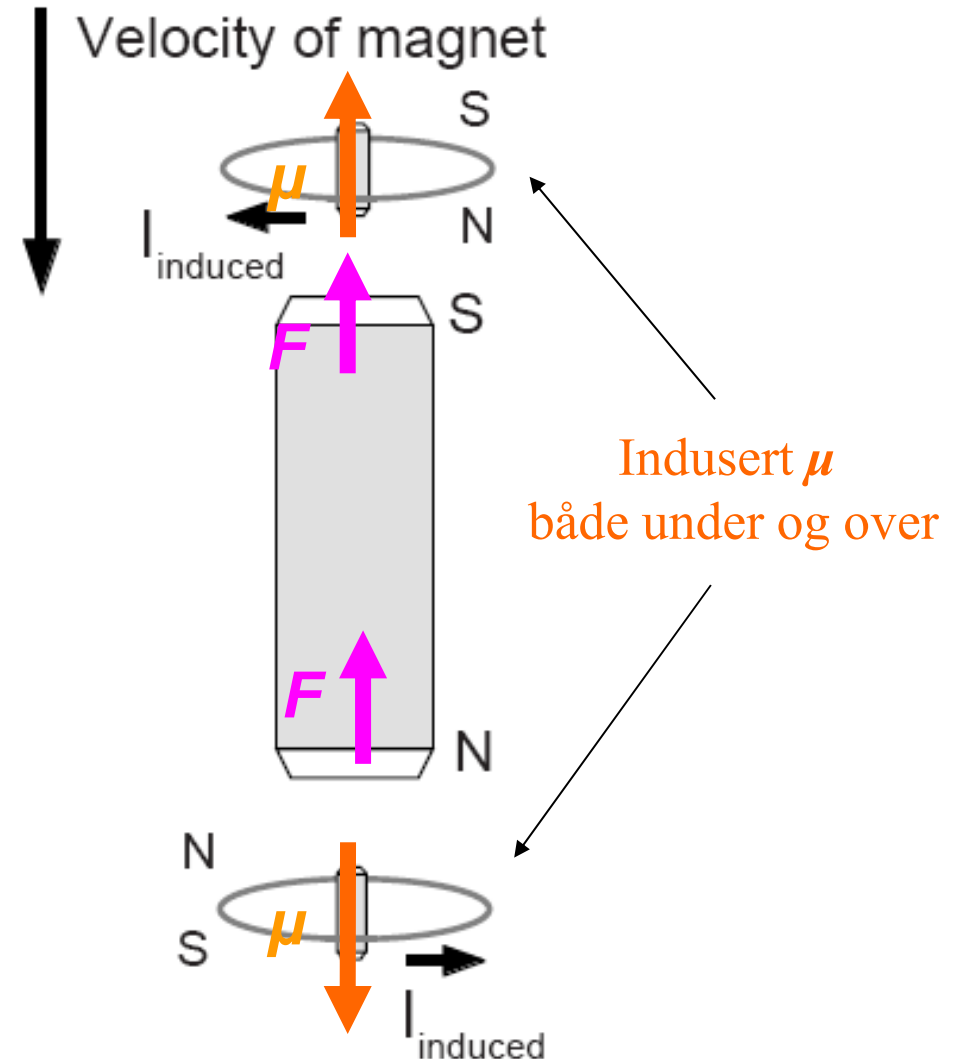
Virvelstrøm i Lenz' rør  
(tidsvarierende  $B(t)$  fra  
bevegende magnet)



# Lenz' rør



(a)



(b)

# Kap 29: Elektromagnetisk induksjon

- Faradays lov og Lenz' lov (29.1-5)  $B(t) \rightarrow E(t)$
- Virvelstrømmer (29.6)
- Forskyvningsstrøm (29.7)  $E(t) \rightarrow B(t)$
- Superledende materiale
- Maxwells likninger (enda en gang)
  - en generell oppsummering med «elmagsirkelen».

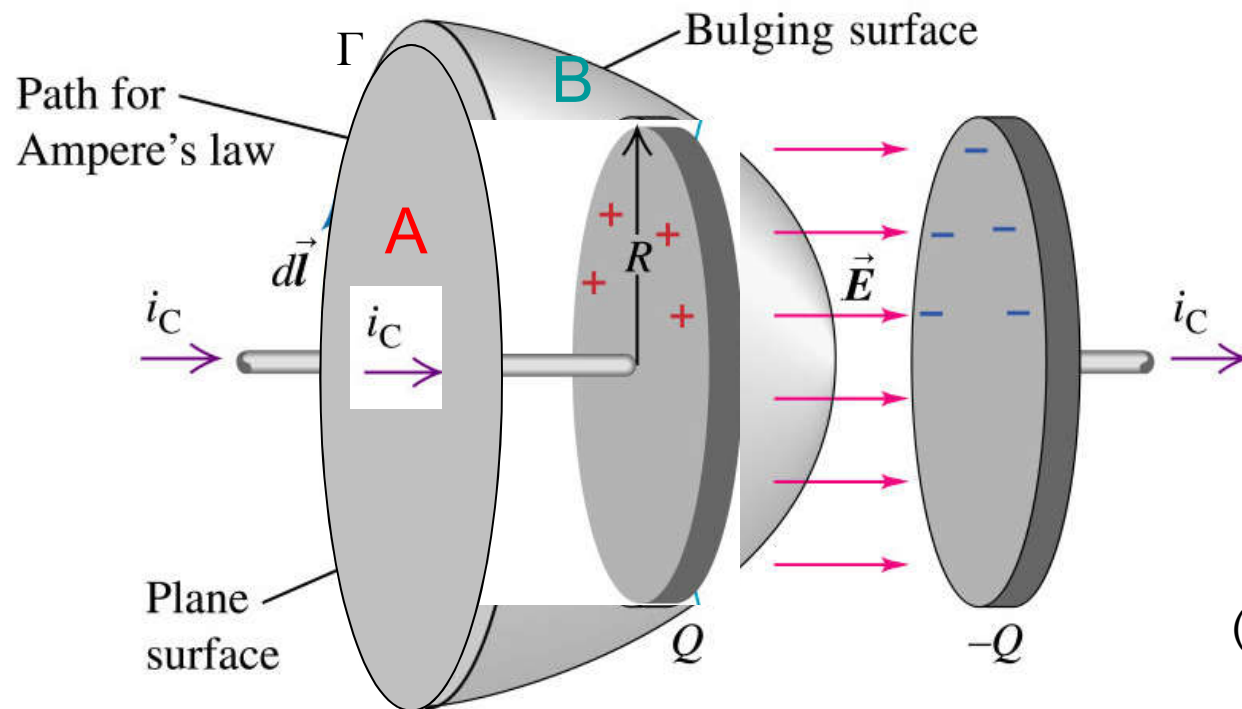
Problem med Amperes lov?

$$\int_{\Gamma} \vec{H} \cdot d\vec{s} = i_{\text{encl}}$$

= strøm gjennom enhver valgt flate omhyllet av integrasjonsvegen  $\Gamma$

Plan flate A med omhyllingskurve= $\Gamma$ : strøm  $i_C$  gjennom flata

Kurvet flate B med omhyllingskurve= $\Gamma$ : ingen strøm gjennom flata!

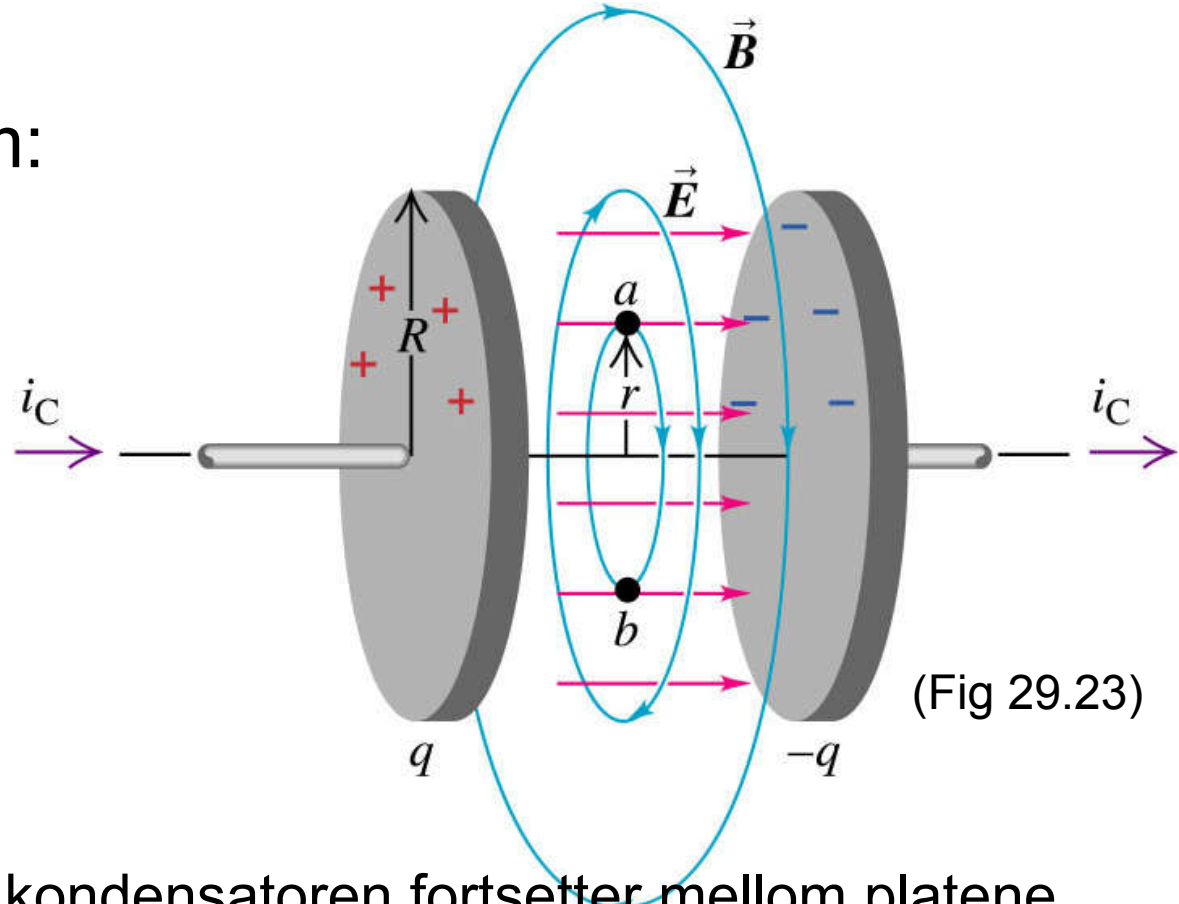


(Y&F Fig 29.22)

Løsning: "Forskyvningsstrøm"

Forskyvningsstrøm:

$$I_d = \frac{d\Phi}{dt}, \text{ der}$$
$$\Phi = \int \mathbf{D} \cdot d\mathbf{A}$$



(Fig 29.23)

Strømmen  $I_C$  som lader kondensatoren fortsetter mellom platene som forskyvningsstrøm  $I_d$  som gir  $B$ -felt mellom platene.

Ampere-Maxwells lov:

$$\int \mathbf{B} \cdot d\mathbf{s} = \mu_0 (I + I_d)$$

$$\int \mathbf{H} \cdot d\mathbf{s} = I + I_d$$

Differensialform:  $\text{curl } \mathbf{H} = \mathbf{J} + \partial \mathbf{D} / \partial t$

# Superledere (Y&F 29.8, ikke pensum)

1. Resistans faller brått til  $\approx 0$  under gitt temp  $T_C$

Resistivitet:

Isolatorer:  $\rho \approx 10^{14} \Omega\text{m}$

Halvledere:  $\rho \approx 1 \Omega\text{m}$

Metaller:  $\rho \approx 10^{-7} \Omega\text{m}$

Superledere:  $\rho < 10^{-20} \Omega\text{m}$

- 1911: H Kammerlingh Onnes: Kvikksølv under  $T_C = 4,1 \text{ K}$   
*(Nobelpris fysikk 1913)*
- 1957: BCS-teori (J Bardeen, LN Cooper, JR Schrieffer):  
Kvantemekanisk forklaring. *(Nobelpris fysikk 1972)*
- 1986: J. Bednorz, KA Müller: Visse oksider:  
superledning opp til  $T_C \approx 100 \text{ K}$ .  
(Flytende N<sub>2</sub> har temp 77 K.) *(Nobelpris fysikk 1987)*

<i>Metaller</i>	$T_c$ (K)
Al	1.18
In	3.41
Sn	3.72
Ta	4.47
V	5.40
Pb	7.20
Nb	9.25
Hg	4.12
Ga	1.07
<i>Legeringer og sammensetninger</i>	
Pb–In	7
Pb–Bi	8.3
Nb–Ti	9.5
Nb–Zr	10.7
Nb–N	16.0
$\text{V}_3\text{Ge}$	15.3
$\text{V}_3\text{Si}$	16.3
$\text{Nb}_3\text{Sn}$	18.0
$\text{Nb}_3\text{Ge}$	23.2

## Kritiske temperaturer for superledere

(Flytende  $\text{N}_2$  har temp 77 K.)

### Oksider

$\text{BaPb}_{0.75}\text{B}_{0.25}\text{O}_3$	13
$\text{La}_{1.85}\text{Ba}_{0.15}\text{CuO}_4$	36
$\text{Bi}_{2}\text{Sr}_2\text{CaCu}_2\text{O}_8$	84
$\text{Tl}_2\text{Ba}_2\text{Ca}_2\text{Cu}_3\text{O}_{10}$	125

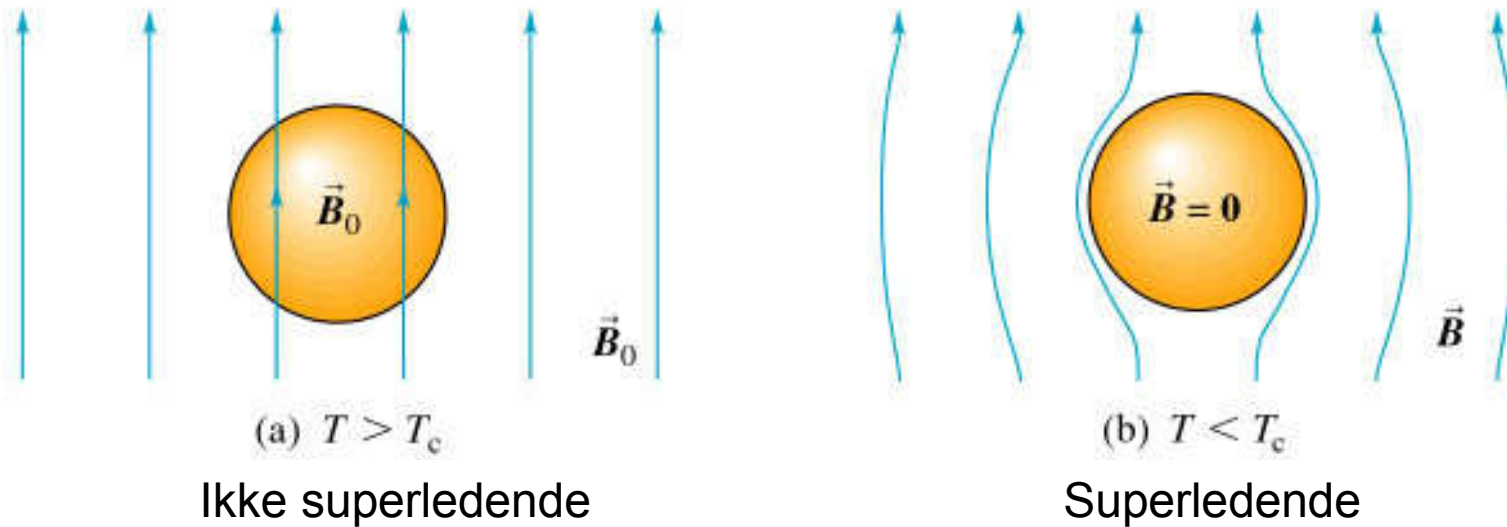
### Fullererer

$\text{K}_3\text{C}_{60}$	18
$\text{Rb}_3\text{C}_{60}$	28
$\text{Cs}_2\text{RbC}_{60}$	33

(Tab. 21.4 i Lillestøl,Hunderi,Lien)<sup>25</sup>

# Superledere

2. Magnetfelt trekker ikke inn i superledere,  $B = \mu_r \mu_0 H = 0$  inni.



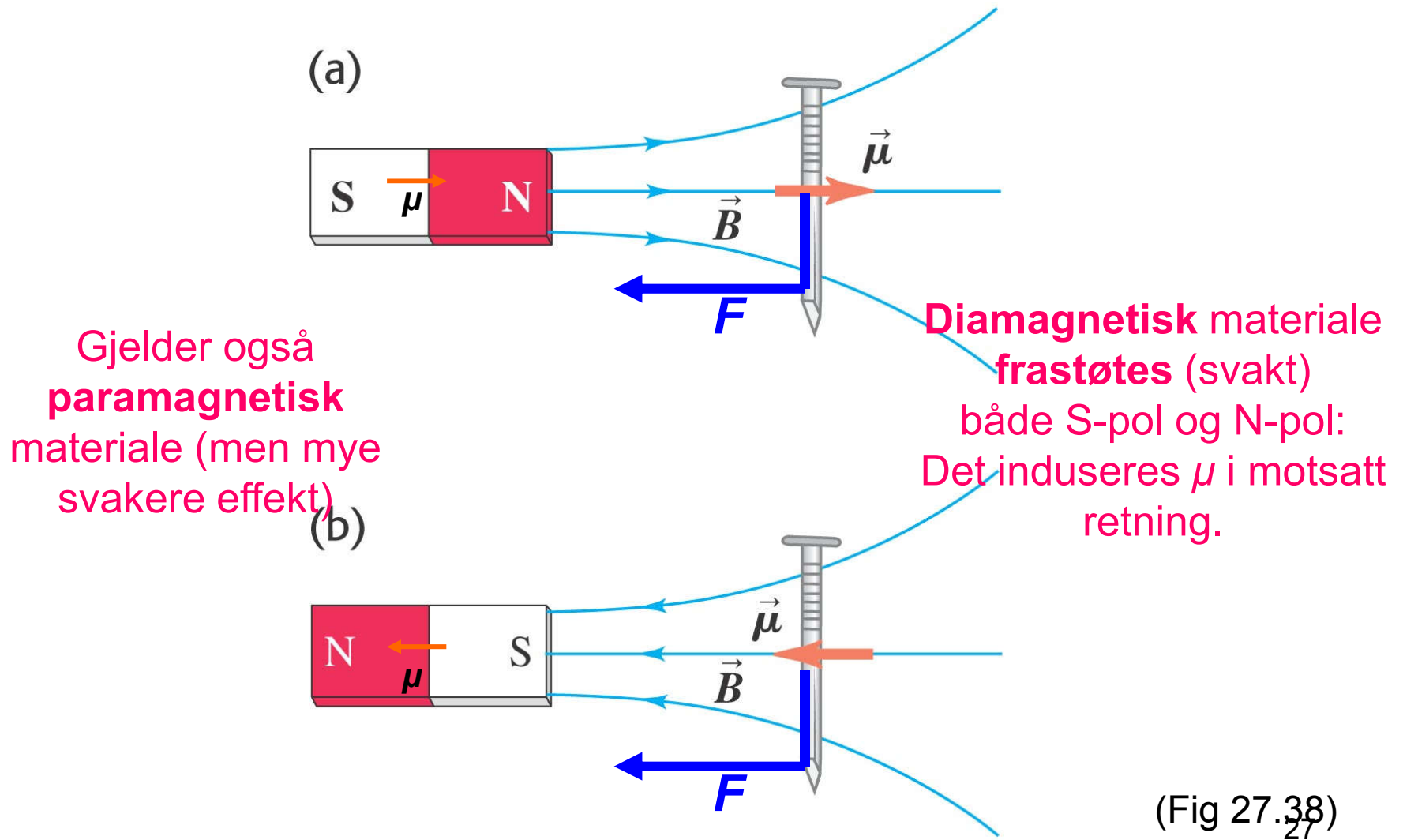
dvs. superledere er perfekt diamagnetisk:

(Fig 29.26)

$$\chi_m = -1 \quad \mu_r = 0$$

ved rimelig svake magnetfelt.  
(Meissnereffekt)

# Jern tiltrekkes både S-pol og N-pol (i inhomogent felt).

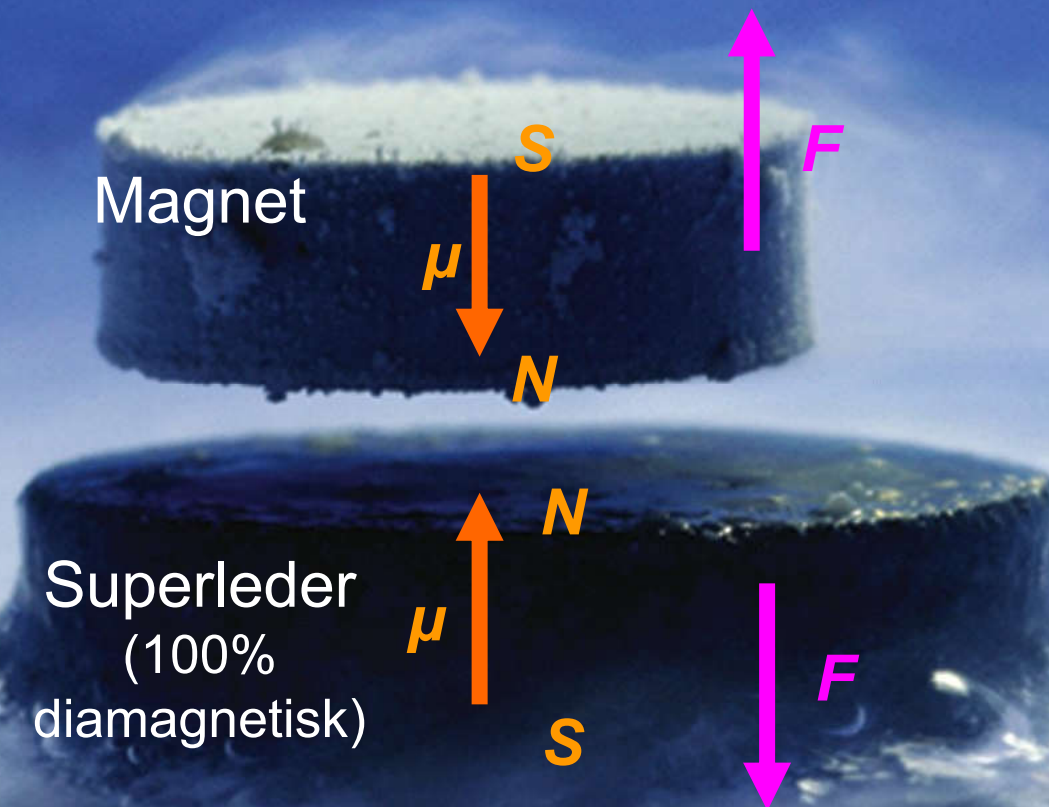


Materiale		Magnet
ferromagnetisk	$\mu_r \gg 1$	tiltrekkes sterkt
paramagnetisk	$\mu_r \approx 1^+$	tiltrekkes svakt
diamagnetisk	$\mu_r \approx 1^-$	frastøtes svakt
superleder	$\mu_r \approx 0$	frastøtes sterkt

Demo av vann som diamagnetisk materiale:

<http://www.youtube.com/watch?v=jyqOTJOJSoU>

# Magnetisk levitasjon

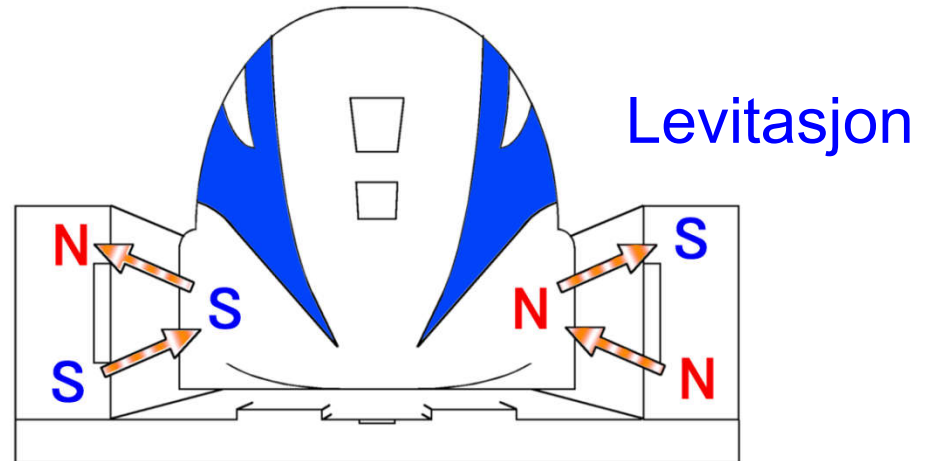
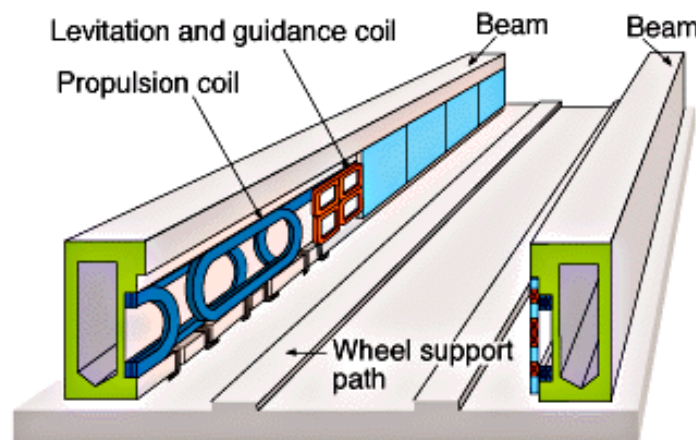


Demo: <http://www.youtube.com/watch?v=nWTSzBWEsms>

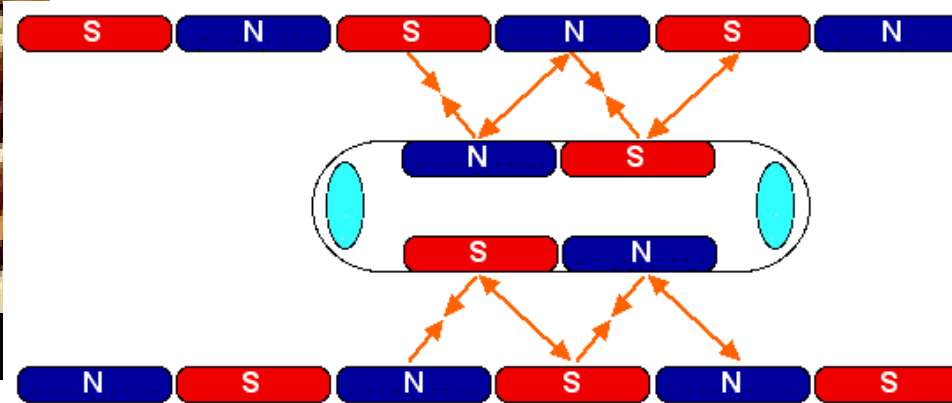
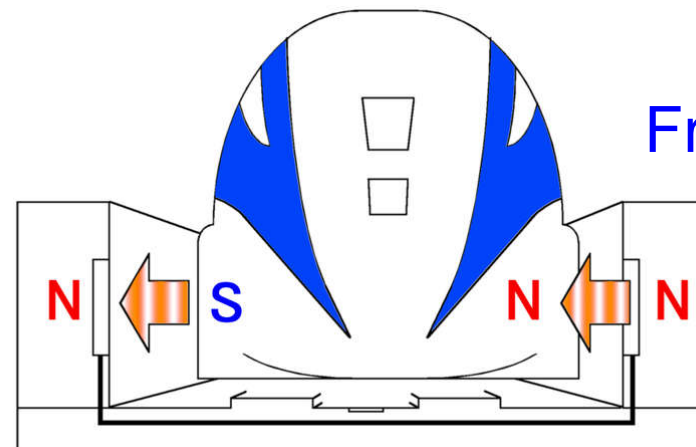
# Nytte av superledere:

- Produksjon av sterke B-felt ( $> 1$  T):
  - MR-instrument i medisin og NMR-instrument i vitenskapen
  - I noen Maglev-tog (magnet-svevetog):  
[http://en.wikipedia.org/wiki/Maglev\\_train](http://en.wikipedia.org/wiki/Maglev_train)
- Elektrisk kraftoverføring?  
Forsøk på gang (korte strekninger).

## JR-Maglev:



Framdrift



# Kap. 29: Oppsummering: Elektromagnetisk induksjon

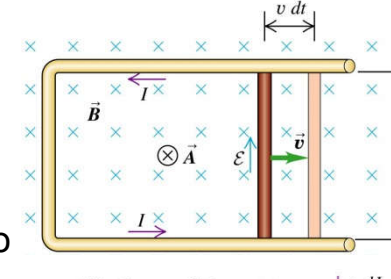
- Faradays lov for homogent  $\mathbf{B}$ -felt og plan strømsløyfe:

$$\mathcal{E} = - \frac{d\Phi_B}{dt} = - \frac{d}{dt} \{ B(t) \cdot A(t) \cdot \cos\varphi(t) \}$$

- Tre ulike tilfeller:

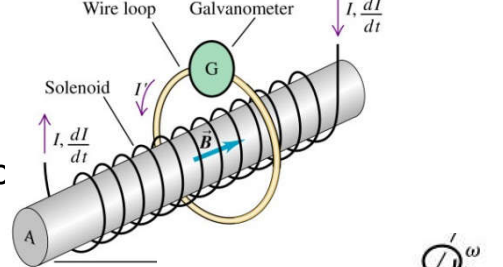
1) Bevegelsesindusert, endring i  $A(t)$ :

$$\mathcal{E} = - \frac{d\Phi_B}{dt} = - B \cdot dA(t)/dt \cdot \cos 0^\circ$$



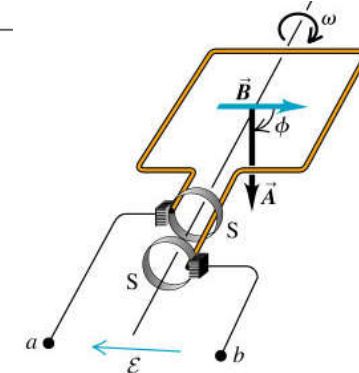
2) Tidsvariasjon i  $B(t)$ :

$$\mathcal{E} = - \frac{d\Phi_B}{dt} = - dB(t)/dt \cdot A \cdot \cos 0^\circ$$



3) Rotasjon, endring i  $\varphi(t)$ :

$$\mathcal{E} = - \frac{d\Phi_B}{dt} = - B \cdot A \cdot d(\cos \varphi) / dt$$



# Kap. 29: Oppsummering: Elektromagnetisk induksjon

- Faradays lov:

$$\mathcal{E} = - \frac{d\Phi_B}{dt}, \quad \text{der } \Phi_B = \int \mathbf{B} \cdot d\mathbf{A}.$$

Dvs: endring i magnetisk fluks  $\Phi_B$  induserer ems.

Generelt, induksjon av  $\mathbf{E}$ -felt i lukket kurve:

$$\int \mathbf{E} \cdot d\mathbf{s} = \mathcal{E} = - \frac{d\Phi_B}{dt}$$

- Lenz' lov: Indusert strøm motsetter seg fluksendringen.
- Virvelstrømmer.
- Forskyvningsstrøm:  $I_d = d\Phi/dt$ , der  $\Phi = \int \mathbf{D} \cdot d\mathbf{A}$ .

Ampere-Maxwells lov:

$$\int \mathbf{B} \cdot d\mathbf{s} = \mu_0 (I + I_d) \quad \int \mathbf{H} \cdot d\mathbf{s} = I + I_d$$

Differensialform:  $\text{curl } \mathbf{H} = \mathbf{J} + \partial \mathbf{D} / \partial t$

# Maxwells likninger i Notat 4

Integralform

$$\oint \vec{D} \cdot d\vec{A} = Q$$

Gauss' lov **D**

$$\oint \vec{B} \cdot d\vec{A} = 0$$

Gauss' lov **B**

$$\oint \vec{H} \cdot d\vec{\ell} = I + \frac{\partial \Phi}{\partial t}$$

Amperes lov

$$\oint \vec{E} \cdot d\vec{\ell} = -\frac{\partial \Phi_B}{\partial t}$$

Faradays lov

Differensialform

$$\vec{\nabla} \cdot \vec{D} = \rho$$

$$\vec{\nabla} \cdot \vec{B} = 0$$

$$\vec{\nabla} \times \vec{H} = \vec{J} + \frac{\partial \vec{D}}{\partial t}$$

$$\vec{\nabla} \times \vec{E} = -\frac{\partial \vec{B}}{\partial t},$$

# Elmagsirkelen

